

УДК 519.6 : 621.391.8 + 004.932

АЛГОРИТМ МАТРИЧНОЙ ПРОГОНКИ ВЫЧИСЛЕНИЯ МУЛЬТИВЕЙВЛЕТОВ НЕЧЁТНОЙ СТЕПЕНИ, ОРТОГОНАЛЬНЫХ МНОГОЧЛЕНАМ

Б. М. Шумилов

*Томский государственный архитектурно-строительный университет,
634003, г. Томск, пл. Соляная, 2
E-mail: sbm@tsuab.ru*

Исследуются полиномиальные мультивейвлеты нечётной степени с носителями из двух шагов сетки, ортогональные многочленам той же степени, на конечном отрезке. Обосновывается новый подход к вычислению мультивейвлет-преобразования на базе алгоритма решения систем линейных алгебраических уравнений с блочно-трёхдиагональной матрицей методом матричной прогонки (блочным методом Гаусса). Представлены результаты численных экспериментов для мультивейвлетов пятой степени.

Ключевые слова: эрмитовы сплайны, мультивейвлеты, ортогональность многочленам, матричная прогонка, анализ и синтез сигналов.

Введение. Вейвлетом называется короткая или быстро затухающая волновая функция (всплеск), множество сжатий и смещений которой порождает пространство измеримых функций на всей числовой оси [1, 2]. Основой для построения вейвлетов является наличие набора аппроксимирующих пространств $\dots V_{L-1} \subset V_L \subset V_{L+1} \dots$ таких, что каждая базисная функция в V_{L-1} может быть выражена в виде линейной комбинации базисных функций в V_L . В частности, этим свойством обладают сплайны — гладкие функции, склеенные из кусков многочленов степени m , на вложенной последовательности сеток. Если порядок склейки равен $m - 1$, то классические полуортогональные вейвлеты (элементы пространства V_L , ортогональные пространству V_{L-1}) имеют довольно большие носители из $2m + 1$ шагов сетки каждый. Это и отсутствие явных выражений по краям отрезка аппроксимации препятствуют широкому использованию сплайн-вейвлетов высокой степени для разработки многомасштабных методов анализа и синтеза сигналов и изображений [3, 4]. Эрмитовы сплайны нечётной степени $m = 2r + 1$ (соответствующие склейке порядка r) приводят к полуортогональным всплескам с носителями из трёх шагов каждый, что, несомненно, предпочтительнее. Поскольку в базисе таких функций несколько, они называются мультивейвлетами [5].

В работе [6] был представлен метод построения сплайн-вейвлетов, ортогональных многочленам, с уменьшенными по сравнению с полуортогональными вейвлетами носителями. Несмотря на то что предложенный метод для случая мультивейвлетов неприменим, так как приводит к чрезмерному расползанию носителей, идея уменьшения носителей мультивейвлетов за счёт замены свойства ортогональности пространству сплайнов на прореженной сетке ортогональностью многочленам представляется привлекательной. Действительно, с точки зрения скорости приближения гладких функций данные типы мультивейвлетов эквивалентны [7], а ортогональность многочленам обеспечивает локально максимальную «похожесть» на наилучшее среднеквадратическое приближение.

В публикациях [8, 9] эта задача решена для эрмитовых сплайнов третьей и пятой степеней соответственно. Данная работа фактически воспроизводит ход рассуждений [8, 9] с тем отличием, что ссылка на прямые вычисления заменена матричными выкладками, пригодными для общего случая. Выявленная при этом блочно-трёхдиагональная структу-

ра полученного решения позволяет применить к нему метод матричной прогонки [10], что существенно облегчает численную реализацию.

Построение системы базисных мультивейвлетов произвольной нечётной степени на конечном отрезке. Пусть на отрезке $[a, b]$ задана вложенная последовательность равномерных сеток $\Delta^L: x_i = a + hi, i = 0, 1, \dots, 2^L, h = (b - a)/2^L, L \geq 0$. Если базисные функции $N_{i,k}^L(x) = \varphi_k(v - i), k = 0, 1, \dots, r \forall i$, где $v = (x - a)/h$, с центрами в узлах сетки Δ^L порождены сжатиями и сдвигами $r + 1$ функций вида [11, с. 82]

$$\varphi_k(t) = \begin{cases} (-1)^k \omega_k(-t) & \text{при } -1 \leq t \leq 0, \\ \omega_k(t) & \text{при } 0 \leq t \leq 1, \end{cases}$$

где

$$\omega_k(t) = (1 - t)^{r+1} \sum_{\beta=0}^{r-k} \frac{(r + \beta)!}{k! \beta! r!} t^{k+\beta}, \quad k = 0, 1, \dots, r,$$

то при условии отсечения выступающих за концы отрезка половинок функций $\varphi_0(t), \dots, \varphi_r(t)$ полученное пространство V_L является пространством эрмитовых сплайнов степени $2r + 1$ гладкости C^r .

Поскольку сетка $\Delta^{L-1}, L \geq 1$, построена из Δ^L посредством удаления каждого второго узла, то соответствующее пространство V_{L-1} с базисными функциями $N_{i,k}^{L-1}$ с носителями в 2 раза бóльшими по ширине и центрами в чётных узлах сетки Δ^L вложено в V_L . Остаток W_{L-1} от разности пространств V_L и V_{L-1} размером $(r + 1) \times (2^L + 1 - 2^{L-1} - 1) = (r + 1)2^{L-1}$ называется пространством мультивейвлетов. Будем искать базисные мультивейвлеты $M_{i,k}^L(x), k = 0, 1, \dots, r \forall i$, как линейные комбинации базисных эрмитовых сплайнов на сетке Δ^{L+1} , удовлетворяющие условиям ортогональности многочленам $(2r + 1)$ -го порядка, т. е.

$$\int_a^b M_{i,k}^L(x) x^m dx = 0, \quad k = 0, 1, \dots, r \forall i, \quad m = 0, 1, \dots, 2r + 1, \quad (1)$$

и имеющие минимальные из возможных носители.

Теорема. Пусть заданы отрезок $[0, 2^L], L \geq 0$, с сеткой $\Delta^L: x_i = i, i = 0, 1, \dots, 2^L$, с единичным шагом и три матрицы размером $(2r + 2) \times (r + 1)$ с элементами

$$R_{m,l}^j = \int_{j-1}^{j+1} \varphi_l(2t - j) t^m dt, \quad j = 0, 1, 2, \quad l = 0, 1, \dots, r, \quad m = 0, 1, \dots, 2r + 1.$$

Тогда при условии, что коэффициенты разложений

$$M_{i,k}^L(x) = \sum_{l=0}^r \sum_{j=0}^p \alpha_j^l \varphi_l(2t - j), \quad t = (x - x_{2i}), \quad -1 \leq t \leq p + 1, \quad \alpha_1^l = \{1, l = k; 0, l \neq k\}, \quad (2)$$

каждый из $r + 1$ столбцов блочной матрицы $[A_0^{\text{inner}}/A_2^{\text{inner}}] = -[R^0 | R^2]^{-1} R^1$ даёт значения коэффициентов $\alpha_j^l, j = 0, 2, l = 0, 1, \dots, r$, соответствующего k -го базисного мультивейвле-

та, полностью лежащего внутри отрезка $[0, 2^L]$. На левом конце отрезка элементы матрицы R^0 вычисляются по укороченному слева интервалу:

$$R_{m,l}^0 = \int_0^1 \varphi_l(2t)t^m dt, \quad l = 0, 1, \dots, r, \quad m = 0, 1, \dots, 2r + 1,$$

а коэффициенты разложения (2) α_j^l , $j = 1, 2$, $l = 0, 1, \dots, r$, соответствующего k -го базисного мультивейвлета даются значениями столбцов матрицы $[A_1^{\text{left}}/A_2^{\text{left}}] = -[R^1 | R^2]^{-1}R^0$ при условии, что коэффициенты $\alpha_0^l = \{1, l = k; 0, l \neq k\}$. Аналогично на правом конце отрезка элементы матрицы R^2 вычисляются по укороченному справа интервалу:

$$R_{m,l}^2 = \int_1^2 \varphi_l(2t - 2)t^m dt, \quad l = 0, 1, \dots, r, \quad m = 0, 1, \dots, 2r + 1,$$

а коэффициенты разложения (2) α_j^l , $j = 0, 1$, $l = 0, 1, \dots, r$, соответствующего k -го базисного мультивейвлета даются значениями столбцов матрицы $[A_0^{\text{right}}/A_1^{\text{right}}] = -[R^0 | R^1]^{-1}R^2$ при условии, что коэффициенты $\alpha_2^l = \{1, l = k; 0, l \neq k\}$. При $L = 0$ все интегралы вычисляются по интервалу $[0, 2]$, а по краям отрезка мультивейвелты не возникают: $[A_0^{\text{center}}/A_2^{\text{center}}] = -[R^0 | R^2]^{-1}R^1$ при условии, что $\alpha_1^l = \{1, l = k; 0, l \neq k\}$.

Система функций $M_{i,k}^L(x)$, $k = 0, 1, \dots, r$, $i = 1, 2, \dots, 2^L$, удовлетворяет условиям (1) с носителями не более чем из двух шагов сетки и образует базис в пространстве W_L , $L \geq 0$.

Доказательство теоремы дано в приложении.

Построение блока фильтров. Если упорядочить базисные сплайн-функции в виде единой матрицы-строки

$$\varphi^L = [N_{0,0}^L, N_{0,1}^L, \dots, N_{0,r}^L, N_{1,0}^L, N_{1,1}^L, \dots, N_{2^L,r}^L],$$

то можно записать φ^{L-1} в виде линейных комбинаций функций φ^L : $\varphi^{L-1} = \varphi^L P^L$. Здесь блоки матрицы P^L составлены из коэффициентов масштабных соотношений (для единичного шага) [5]

$$\begin{bmatrix} \varphi_0(t) \\ \varphi_1(t) \\ \vdots \\ \varphi_r(t) \end{bmatrix} = \sum_{k=0}^2 H_k \begin{bmatrix} \varphi_0(2t - k) \\ \varphi_1(2t - k) \\ \vdots \\ \varphi_r(2t - k) \end{bmatrix},$$

где $H_2 = U^{-1}\Lambda U$, $H_1 = \text{diag}(1, 2^{-1}, \dots, 2^{-r})$, $H_0 = SH_2S^{-1}$, матрица U размера $(r + 1) \times (r + 1)$ задана элементами

$$U_{k,j} = (-1)^{r+1+k-j} \frac{(r+1+k)!}{(r+1+k-j)!}, \quad k, j = 0, 1, \dots, r,$$

а $\Lambda = \text{diag}(2^{-r-1}, \dots, 2^{-2r-1})$, $S = \text{diag}(1, -1, \dots, (-1)^{-r})$.

Аналогично запишем базисные мультивейвелт-функции $(2r + 1)$ -й степени на уровне разрешения L в виде матрицы-строки

$$\psi^L = [M_{1,0}^L, M_{1,1}^L, \dots, M_{1,r}^L, \dots, M_{2^L,r}^L].$$

Тогда для уровня разрешения $L - 1$ можно выразить функции ψ^{L-1} в виде линейных комбинаций функций φ^L : $\psi^{L-1} = \varphi^L Q^L$, где блоки матрицы Q^L составлены из коэффициентов разложений (2). Соответствующие коэффициенты сплайна будем собирать в вектор

$$C^L = [C_0^{L,0}, C_0^{L,1}, \dots, C_0^{L,r}, C_1^{L,0}, \dots, C_{2L}^{L,r}]^T$$

и соответствующие мультивейвлет-коэффициенты — в вектор

$$D^L = [D_1^{L,0}, D_1^{L,1}, \dots, D_1^{L,r}, \dots, D_{2L}^{L,r}]^T.$$

С использованием обозначений для блочных матриц процесс получения C^L из C^{L-1} и D^{L-1} может быть записан как [12]

$$C^L = [P^L | Q^L] \begin{bmatrix} C^{L-1} \\ D^{L-1} \end{bmatrix}. \quad (3)$$

Далее представлены примеры матриц $[P^L | Q^L]$, соответствующих $L = 1, 2, 3$:

$$[P^1 | Q^1] = \begin{bmatrix} H_1 & O & A_0^{\text{center}} \\ H_2^T & H_0^T & I \\ O & H_1 & A_2^{\text{center}} \end{bmatrix}, \quad [P^2 | Q^2] = \begin{bmatrix} H_1 & O & O & I & O \\ H_2^T & H_0^T & O & A_1^{\text{left}} & O \\ O & H_1 & O & A_2^{\text{left}} & A_0^{\text{right}} \\ O & H_2^T & H_0^T & O & A_1^{\text{right}} \\ O & O & H_1 & O & I \end{bmatrix},$$

$$[P^3 | Q^3] = \begin{bmatrix} H_1 & O & O & O & O & I & O & O & O \\ H_2^T & H_0^T & O & O & O & A_1^{\text{left}} & O & O & O \\ O & H_1 & O & O & O & A_2^{\text{left}} & A_0^{\text{inner}} & O & O \\ O & H_2^T & H_0^T & O & O & O & I & O & O \\ O & O & H_1 & O & O & O & A_2^{\text{inner}} & A_0^{\text{inner}} & O \\ O & O & H_2^T & H_0^T & O & O & O & I & O \\ O & O & O & H_1 & O & O & O & A_2^{\text{inner}} & A_0^{\text{right}} \\ O & O & O & H_2^T & H_0^T & O & O & O & A_1^{\text{right}} \\ O & O & O & O & H_1 & O & O & O & I \end{bmatrix}.$$

Здесь O обозначает матрицу $(r + 1)$ -го порядка с нулевыми коэффициентами, тогда как I — единичная матрица $(r + 1)$ -го порядка. Обратный процесс разбиения коэффициентов C^L на более грубую версию C^{L-1} и уточняющие коэффициенты D^{L-1} состоит в решении системы линейных уравнений (3). При этом в целях компенсации единичного шага сетки в уравнениях (3) в качестве исходных нужно использовать значения функции и производных, домноженные на h в соответствующей степени: $\{f^{(k)}(ih)h^k, k = 0, 1, \dots, r, i = 0, 1, \dots, 2^L\}$, всего $(r + 1)(2^L + 1)$ чисел.

Обращение блока фильтров. Разрешимость системы (3) гарантирована линейной независимостью базисных функций. Для вычислений матрицу $[P^L | Q^L]$ предлагается сделать блочной трёхдиагональной, изменив порядок неизвестных так, чтобы блоки матриц P^L и Q^L перемежались:

$$\mathbf{K}^1 = \begin{bmatrix} H_1 & A_0^{\text{center}} & O \\ H_2^T & I & H_0^T \\ O & A_2^{\text{center}} & H_1 \end{bmatrix}, \quad \mathbf{K}^L = \begin{bmatrix} H_1 & I & 0 & \cdots & 0 \\ H_2^T & A_1^{\text{left}} & H_0^T & \ddots & \vdots \\ 0 & A_2^{\text{left}} & \ddots & \ddots & 0 \\ \vdots & \ddots & \ddots & A_1^{\text{right}} & H_0^T \\ 0 & \cdots & 0 & I & H_1 \end{bmatrix}, \quad L > 1.$$

Одним из методов решения полученных систем алгебраических уравнений является метод Гаусса [13]. Если матрица системы разбита на блоки, то можно построить блочное LU -разложение, которое представим в виде

$$\mathbf{K}^L = (\mathbf{L} + \mathbf{T})\mathbf{T}^{-1}(\mathbf{U} + \mathbf{T}), \quad (4)$$

где для $L > 1$ имеем

$$\mathbf{L} = \text{blocktridiag}\{H_2^T, 0, 0; A_2^{\text{left}}, 0, 0; H_2^T, 0, 0; A_2^{\text{inner}}, 0, 0; \dots; I, 0, 0\};$$

$$\mathbf{U} = \text{blocktridiag}\{0, 0, I; 0, 0, H_0^T; 0, 0, A_0^{\text{inner}}; \dots; 0, 0, A_0^{\text{right}}; 0, 0, H_0^T\};$$

$$\mathbf{T} = \text{blockdiag}\{T_i, i = 0, 1, \dots, 2^L\}.$$

Приравнивая соответствующие блоки в левой и правой частях (4), получим выражения для блоков LU -разложения T_i [14]:

$$T_1 = H_1; \quad T_2 = A_1^{\text{left}} - H_2^T T_1^{-1}; \quad T_3 = H_1 - A_2^{\text{left}} T_2^{-1} H_0^T;$$

$$T_i = I - H_2^T T_{i-1}^{-1} A_0^{\text{inner}}; \quad T_{i+1} = H_1 - A_2^{\text{inner}} T_i^{-1} H_0^T \quad (i = 4, 6, \dots, 2^L - 2); \quad (5)$$

$$T_{2^L} = A_1^{\text{right}} - H_2^T T_{2^L-1}^{-1} A_0^{\text{right}}; \quad T_{2^L+1} = H_1 - T_{2^L}^{-1} H_0^T.$$

Аналогично для $L = 1$ получаем

$$T_1 = H_1; \quad T_2 = I - H_2^T T_1^{-1} A_0^{\text{center}}; \quad T_3 = H_1 - A_2^{\text{center}} T_2^{-1} H_0^T.$$

Если ввести обозначение $\mathbf{T}^{-1}(\mathbf{U} + \mathbf{T})u = z$, то процесс решения системы $\mathbf{K}^L u = f$ разбивается на два этапа: $(\mathbf{L} + \mathbf{T})z = f$; $(\mathbf{I} + \mathbf{T}^{-1}\mathbf{U})u = z$.

Покомпонентно каждый из них можно записать в следующем виде.

Для решения $(\mathbf{L} + \mathbf{T})z = f$ последовательно выполняются действия:

$$z_1 = T_1^{-1} f_1; \quad z_2 = T_2^{-1}(f_2 - H_2^T z_1); \quad z_3 = T_3^{-1}(f_3 - A_2^{\text{left}} z_2);$$

$$z_i = T_i^{-1}(f_i - H_2^T z_{i-1}); \quad z_{i+1} = T_{i+1}^{-1}(f_{i+1} - A_2^{\text{inner}} z_i) \quad (i = 4, 6, \dots, 2^L - 2); \quad (6)$$

$$z_{2^L} = T_{2^L}^{-1}(f_{2^L} - H_2^T z_{2^L-1}); \quad z_{2^L+1} = T_{2^L+1}^{-1}(f_{2^L+1} - z_{2^L}),$$

а для вычисления $(\mathbf{I} + \mathbf{T}^{-1}\mathbf{U})u = z$ можно воспользоваться рекуррентными формулами:

$$\begin{aligned} u_{2L+1} &= z_{2L+1}; & u_{2L} &= z_{2L} - T_{2L}^{-1}H_0^T u_{2L+1}; & u_{2L-1} &= z_{2L-1} - T_{2L-1}^{-1}A_0^{\text{right}} u_{2L}; \\ u_i &= z_i - T_i^{-1}H_0^T u_{i+1}; & u_{i-1} &= z_{i-1} - T_{i-1}^{-1}A_0^{\text{inner}} u_i & (i = 2^L - 2, 2^L - 4, \dots, 4); & (7) \\ u_2 &= z_2 - T_2^{-1}H_0^T u_3; & u_1 &= z_1 - T_1^{-1}u_2. \end{aligned}$$

Здесь u_i, z_i и f_i суть подвекторы порядка $r + 1$.

Решение для $r = 2$ (случай мультивейветов пятой степени). Для уровня разрешения $L \geq 1$ (внутри отрезка аппроксимации):

$$A_0^{\text{inner}} = \begin{bmatrix} 0,558 & -0,013 & 4,808 \cdot 10^{-3} \\ -3,942 & 0,463 & -0,058 \\ -63,462 & 5,15 & -0,788 \end{bmatrix}, \quad A_2^{\text{inner}} = \begin{bmatrix} 0,558 & 0,013 & 4,808 \cdot 10^{-3} \\ 3,942 & 0,463 & 0,058 \\ -63,462 & -5,15 & -0,788 \end{bmatrix};$$

для $L \geq 1$ (на левом конце отрезка аппроксимации):

$$A_1^{\text{left}} = \begin{bmatrix} 6,165 & 0,655 & 0,036 \\ -32,056 & -2,687 & -0,113 \\ -712,994 & -74,935 & -4,12 \end{bmatrix}, \quad A_2^{\text{left}} = \begin{bmatrix} -0,415 & -0,028 & -9,259 \cdot 10^{-4} \\ -31,744 & -2,981 & -0,148 \\ 337,994 & 31,296 & 1,537 \end{bmatrix};$$

для $L \geq 1$ (на правом конце отрезка аппроксимации):

$$A_0^{\text{right}} = \begin{bmatrix} -0,415 & 0,028 & -9,259 \cdot 10^{-4} \\ 31,744 & -2,981 & 0,148 \\ 337,994 & -31,296 & 1,537 \end{bmatrix}, \quad A_1^{\text{right}} = \begin{bmatrix} 6,165 & -0,655 & 0,036 \\ 32,056 & -2,688 & 0,113 \\ -712,994 & 74,935 & -4,12 \end{bmatrix};$$

для $L = 0$ (в центре отрезка аппроксимации):

$$A_0^{\text{center}} = \begin{bmatrix} -4 & 0,229 & -0,029 \\ 84 & -5,714 & 0,657 \\ -828 & 65,143 & -7,171 \end{bmatrix}, \quad A_2^{\text{center}} = \begin{bmatrix} -4 & -0,229 & -0,029 \\ -84 & -5,714 & -0,657 \\ -828 & -65,143 & -7,171 \end{bmatrix}.$$

При этом

$$H_1 = \text{diag}(4, 2, 1)/4, \quad H_0 = \frac{1}{64} \begin{pmatrix} 32 & 60 & 0 \\ -10 & -14 & 24 \\ 1 & 1 & -4 \end{pmatrix}, \quad H_2 = \frac{1}{64} \begin{pmatrix} 32 & -60 & 0 \\ 10 & -14 & -24 \\ 1 & -1 & -4 \end{pmatrix}.$$

Нетрудно убедиться, что при $L > 1$ условия даже слабого диагонального преобладания [10] нигде не выполняются кроме первой и последней строк. Тем не менее прямое вычисление матриц T_i позволяет утверждать, что для любого уровня разрешения L они являются невырожденными, что на практике означает корректность представленного выше монотонного варианта алгоритма матричной прогонки (5)–(7).

Численный пример с двумя разрывами первого рода и изломом. Положим

$$\psi_1^0(x) = 0,922M_{1,0}^0(x); \quad \psi_2^0(x) = 13,125M_{1,1}^0(x); \quad \psi_3^0(x) = 147,537M_{1,2}^0(x);$$

$$\psi_{i-2}^L(x) = 0,236 \cdot 2^{L/2} M_{i/3,0}^L(x); \quad \psi_{i-1}^L(x) = 2,476 \cdot 2^{L/2} M_{i/3,1}^L(x);$$

$$\psi_i^L(x) = 49,321 \cdot 2^{L/2} M_{i/3,2}^L(x), \quad i = 3, 3 \cdot 2^L, \quad L \geq 1;$$

$$\psi_{i-2}^L(x) = 2,226 \cdot 2^{L/2} M_{i/3,0}^L(x); \quad \psi_{i-1}^L(x) = 10,999 \cdot 2^{L/2} M_{i/3,1}^L(x);$$

$$\psi_i^L(x) = 233,334 \cdot 2^{L/2} M_{i/3,2}^L(x), \quad i = 6, 9, \dots, 3 \cdot 2^L - 3, \quad L \geq 2.$$

Заметим, что $\psi_i^L(x)$ нормированы так, что $\|\psi_i^L(x)\|_{L_2(0,1)} = 1$ для $i = 1, 2, \dots, 3 \cdot 2^L$.

Для $x \in [0, 1]$, полагая на верхнем уровне разрешения $L = 5$, находим длину шага сетки $h = 2^{-5} = 1/32$. Для функции Хартена [15]

$$f(x) = \begin{cases} (1/2) \sin(3\pi x), & x \leq 1/3, \\ |\sin(4\pi x)|, & 1/3 < x \leq 2/3, \\ -(1/2) \sin(3\pi x), & x > 2/3 \end{cases}$$

коэффициенты нормированного вейвлет-базиса равны последовательно:

$$\begin{aligned} D^4 = & [4,515 \cdot 10^{-5}, -6,792 \cdot 10^{-5}, 2,457 \cdot 10^{-5}, 1,425 \cdot 10^{-5}, 8,733 \cdot 10^{-6}, -2,094 \cdot 10^{-6}, \\ & -8,071 \cdot 10^{-5}, -4,688 \cdot 10^{-5}, 1,187 \cdot 10^{-5}, 0,0004453, 0,0002572, -6,566 \cdot 10^{-5}, \\ & -0,002433, -0,00126, 0,0003901, 0,003661, -0,008702, 0,001194, \\ & -0,0007111, 0,00032, 9,509 \cdot 10^{-5}, 0,0007808, 0,001585, 0,0001964, 0,0007707, \\ & -0,001589, 0,0001978, -0,0006639, -0,0002969, 8,73 \cdot 10^{-5}, 0,0034, \\ & 0,009346, 0,00146, -0,002521, 0,001301, 0,0004052, 0,0004615, \\ & -0,0002665, -6,806 \cdot 10^{-5}, -8,366 \cdot 10^{-5}, 4,859 \cdot 10^{-5}, 1,23 \cdot 10^{-5}, 1,476 \cdot 10^{-5}, \\ & -9,052 \cdot 10^{-6}, -2,169 \cdot 10^{-6}, 4,682 \cdot 10^{-5}, 7,044 \cdot 10^{-5}, 2,548 \cdot 10^{-5}]^T; \end{aligned}$$

$$\begin{aligned} D^3 = & [0,009498, -0,01424, 0,005098, 0,002722, 0,002674, 0,0001801, -0,03149, \\ & -0,005056, 0,01908, -0,002432, -0,00113, 0,0003206, -0,002828, 0,001103, \\ & 0,0004455, -0,03293, 0,002208, 0,02075, 0,002868, -0,002785, 0,0001764, \\ & 0,01, 0,015, 0,005372]^T; \end{aligned}$$

$$\begin{aligned} D^2 = & [-0,08872, 0,1423, -0,06243, 0,02528, -0,04265, -0,01368, 0,02009, 0,05193, \\ & -0,008241, -0,07657, -0,1239, -0,05608]^T; \end{aligned}$$

$$D^1 = [2,495, -3,678, 1,324, 2,313, 3,479, 1,273]^T;$$

$$D^0 = [-0,6133, 0,04802, 0,7592]^T.$$

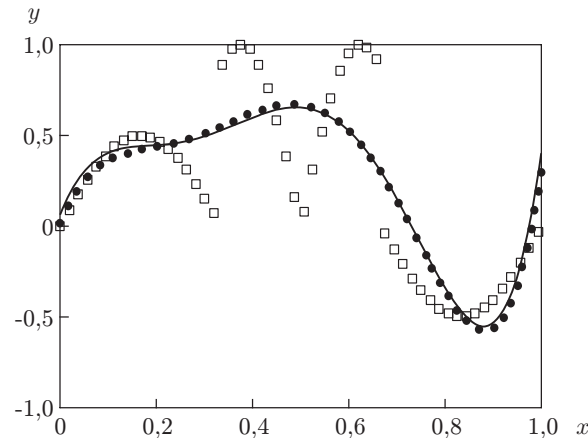


Рис. 1. Сравнение результатов вейвлет-синтеза значений сглаживающего многочлена пятой степени (сплошная кривая) и МНК-многочлена пятой степени (точки), построенного по значениям функции Хартена (квадраты)

На последнем этапе алгоритма вейвлет-анализа находим значения сплайна $S^0(x)$ и двух производных в концах отрезка:

$$C^0 = [0,061, 6,768, -92,789, 0,402, 18,937, 241,383]^T.$$

Самые большие числа обусловленности равны $2,7 \cdot 10^4$, $3,6 \cdot 10^5$, $2,9 \cdot 10^4$ соответственно для матриц T_2, T_{2L}, T_{2L+1} , $L = 3, 4, 5$.

Если аннулировать все вейвлет-коэффициенты, то получится некоторый сглаживающий многочлен пятой степени $S^0(x)$, весьма незначительно отличающийся от МНК-решения (рис. 1), представленного сплайн-коэффициентами

$$C^0 = [0,017, 6,448, -83,458, 0,313, 18,022, 231,555]^T.$$

Результаты синтеза коэффициентов эрмитового сплайна пятой степени $S^5(x)$ при условии обнуления вейвлет-коэффициентов по модулю меньших величин $0,61h^{L/2}$, $0 \leq L \leq 4$, представлены на рис. 2 (здесь сплошной линией обозначаются исходная функция и её производная). При этом достигается коэффициент сжатия [16] $K = 99/45 \approx 2$.

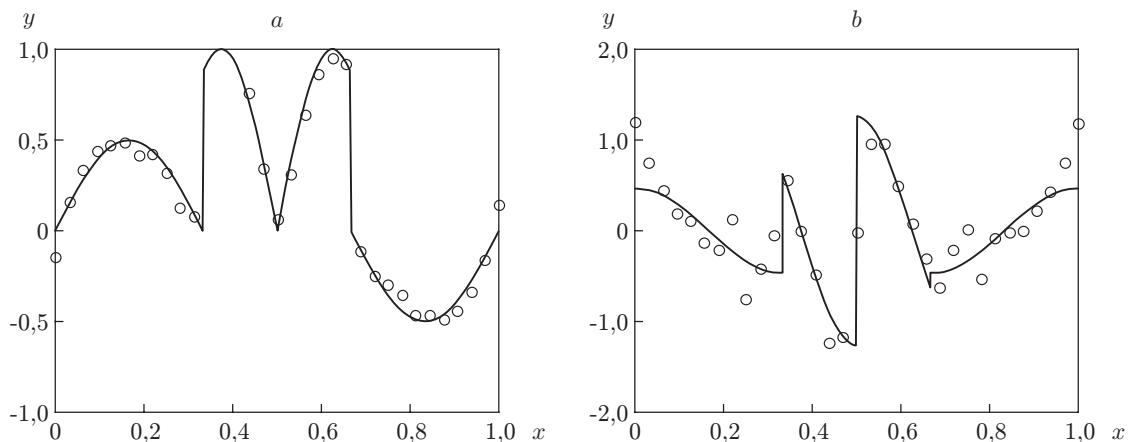


Рис. 2. Сравнение результатов синтеза узловых значений (кружки): сплайна пятой степени (а) и первой производной (б) для случая функции Хартена

Заключение. В данной работе представлена общая схема построения эрмитовых сплайн-мультивейвлетов, ортогональных многочленам, основанная на решении систем линейных алгебраических уравнений с блочно-трёхдиагональной матрицей методом матричной прогонки. Полученные результаты предоставляют широкие возможности для оптимизации методов анализа и синтеза сигналов и изображений [17, 18].

ПРИЛОЖЕНИЕ

Доказательство теоремы.

1. Пусть $L \geq 1$ и носители мультивейвлетов $[x_{2i-1}, x_{2i+p+1}]$, $p \geq 1$, полностью располагаются внутри отрезка $[0, 2^L]$. При $p \geq 1$ для всех $i = 1, 2, \dots, 2^L - 1 - [p/2]$ имеет место разложение (2). Подставим его в (1) и вычислим все необходимые интегралы, учитывая при этом, что подынтегральные выражения обращаются в нуль вне носителей вейвлетов. Условия ортогональности (1) определяют однородную систему $2r + 2$ уравнений относительно коэффициентов мультивейвлета $M_{i,k}^L(x)$. В силу линейной независимости на интервалах $[x_{2i-1}, x_{2i+p+1}]$ базисных функций $N_{2i+l,k}^{L+1}(x)$, $l = 0, \dots, r$, $j = 0, 1, \dots, p$, и поверочных функций [1] x^m , $m = 0, 1, \dots, 2r + 1$, ранг полученной системы равняется $\min[2r + 2, (r + 1)(p + 1)]$. Если предположить, что носитель мультивейвлета равен трём шагам сетки Δ^{L+1} , т. е. $p = 1$, то однородная система становится квадратной и, будучи невырожденной, может иметь только тривиальное решение. Поэтому будем далее считать, что носитель мультивейвлета равен четырём шагам сетки Δ^{L+1} , т. е. мультивейвлет построен из $3r + 3$ базисных сплайнов. Здесь ранг матрицы $2r + 2$. Тогда однородная система $2r + 2$ уравнений с $3r + 3$ неизвестными имеет $r + 1$ линейно независимых частных решений. При этом количество полученных для каждого номера i мультивейвлетов, полностью лежащих внутри отрезка $[0, 2^L]$, равно $(r + 1)(2^L - 2) = (r + 1)2^L - 2(r + 1)$, что на $2(r + 1)$ меньше разности между размерностями пространств V_{L+1} и V_L : $(r + 1)(2^{L+1} + 1) - (r + 1)(2^L + 1) = (r + 1)2^L$.

Вблизи концов отрезка интервалы интегрирования не выходят за его пределы. Поэтому с учётом того что по краям отрезка от выступающих за его концы функций $\varphi_0(t), \dots, \varphi_r(t)$ остаётся по половинке, граничные мультивейвлеты отличаются от мультивейвлетов, предложенных в данной работе, при условии ортогональности многочленам $(2r+1)$ -й степени. Аналогичные рассуждения приводят к двум системам линейно независимых функций $M_{i,k}^L(x)$, $k = 0, 1, \dots, r$, отдельно на левом и на правом концах, дополняющих до базиса построенную выше мультивейвлет-систему.

2. Пусть $L = 0$. Вычисления снова дают $r + 1$ линейно независимых частных решений, которые образуют базис в пространстве $V_1 - V_0$ размерностью $(r + 1)3 - (r + 1)2 = (r + 1)$.

3. Окончательно в соответствии с правилами линейной алгебры выписываются матричные формулы для вычисления коэффициентов эрмитовых мультивейвлетов нечётной степени.

СПИСОК ЛИТЕРАТУРЫ

1. **Добещи И.** Десять лекций по вейвлетам: Пер. с англ. Ижевск: НИЦ «Регулярная и хаотическая динамика», 2001. 464 с.
2. **Чуи Ч.** Введение в вейвлеты: Пер. с англ. М.: Мир, 2001. 412 с.
3. **Малла С.** Вейвлеты в обработке сигналов: Пер. с англ. М.: Мир, 2005. 671 с.
4. **Переберин А. В.** О систематизации вейвлет-преобразований // Вычислительные методы и программирование. 2001. **2**, № 2. С. 133–158.

5. **Strela V., Heller P. N., Strang G. et al.** The application of multiwavelet filterbanks to image processing // IEEE Trans. Signal Process. 1999. **8**, N 4. P. 548–563.
6. **Koro K., Abe K.** Non-orthogonal spline wavelets for boundary element analysis // Eng. Analys. Boundary Elements. 2001. **25**, N 3. P. 149–164.
7. **Новиков И. Я., Протасов В. Ю., Скопина М. А.** Теория всплесков. М.: ФИЗМАТЛИТ, 2006. 616 с.
8. **Шумилов Б. М.** Мультивейвлеты эрмитовых сплайнов третьей степени, ортогональные кубическим многочленам // Математическое моделирование. 2013. № 4. С. 17–28.
9. **Шумилов Б. М., Кудуев А. Ж.** Новый тип мультивейвлетов пятой степени, ортогональных многочленам пятой степени // Вестн. ТГУ. Управление, вычислительная техника и информатика. 2012. № 4. С. 108–116.
10. **Самарский А. А., Николаев Е. С.** Методы решения сеточных уравнений. М.: Наука, 1978. 591 с.
11. **Завьялов Ю. С., Квасов Б. И., Мирошниченко В. Л.** Методы сплайн-функций. М.: Наука, 1980. 352 с.
12. **Столиц Э., ДеРоуз Т., Салезин Д.** Вейвлеты в компьютерной графике: Пер. с англ. Ижевск: НИЦ «Регулярная и хаотическая динамика», 2002. 272 с.
13. **Ортега Дж.** Введение в параллельные и векторные методы решения линейных систем: Пер. с англ. М.: Мир, 1991. 376 с.
14. **Васильева Е. А.** Достаточные условия корректности метода матричной прогонки // Изв. КГТУ. 2011. № 20. URL: http://www.kgtu.ru/science/magazine/2011_20/14.doc (дата обращения: 4.02.2014).
15. **Arandiga F., Baeza A., Donat R.** Discrete multiresolution based on hermite interpolation: computing derivatives // Commun. Nonlinear Sci. Numerical Simulation. 2004. **9**, N 2. P. 263–273.
16. **Воскобойников Ю. Е.** Оптимизация алгоритмов вейвлет-фильтрации с многопараметрическими пороговыми функциями // Автометрия. 2014. **50**, № 6. С. 69–79.
17. **Шумилов Б. М., Бекмуратов А. Т., Кудуев А. Ж. и др.** Вейвлет-преобразование и сжатие данных лазерного сканирования автомобильных дорог // Вестн. ТГАСУ. 2011. № 4. С. 228–238.
18. **Шумилов Б. М., Байгулов А. Н., Абдыкалык кызы Ж.** Алгоритм и программа вейвлет-моделирования поверхностей автомобильных дорог // Вестн. ТГАСУ. 2014. № 1. С. 142–152.

Поступила в редакцию 4 февраля 2014 г.
